

B. A. Буряченко, B. Z. Партон

## МНОГОЧАСТИЧНЫЕ ДИФФЕРЕНЦИАЛЬНЫЕ МЕТОДЫ В СТАТИКЕ КОМПОЗИТОВ

Наряду с методами эффективных полей [1—3] и среды [4, 5], сравнительный анализ которых проведен в [2], в механике композитных материалов получил распространение дифференциальный метод эффективной среды (МЭС) [6—13]. Дифференциальный МЭС возник как альтернатива двусмысленному допущению МЭС, когда значение эффективного модуля используется для оценки средней концентрации деформации на изолированном включении. Дифференциальный МЭС рассматривается как процесс последовательного дополнения фазы включений в однородную среду с модулем, равным эффективному модулю среды с ранее добавленными в матрицу включениями. Этот процесс можно осуществить двумя способами. Во-первых допустить, что фаза включений состоит из бесконечного числа фракций с бесконечно различными размерами и последовательность помешения включений в соответствующую однородную среду проводится в порядке возрастания размеров включений. Во-вторых, включения исходного размера добавлять в среду бесконечно малыми порциями до конечной реальной концентрации. Оба способа приводят к эквивалентным результатам, поскольку на каждом итерационном шаге используется одно и то же решение одночастичной задачи оценки эффективного модуля среды с бесконечно малой концентрацией включений. При этом могут применяться как МЭС [6—12], так и метод эффективного поля (МЭП) [13].

В данной работе на каждом итерационном шаге дифференциальной схемы решается не одночастичная [6—13], а многочастичная задача с использованием предложенного ранее алгоритма [1, 3]. При сравнении расчетных данных с экспериментальными показано преимущество многочастичного дифференциального метода перед одночастичным.

**1. Общие соотношения.** Пусть однородная матрица  $v_0$  с тензором свойств  $L(x) = L_0$  ( $x \in v_0$ ) содержит случайное множество  $X = (V_k, x_k, \omega_k)$  ( $k = 1, 2, \dots$ ) эллипсоидов  $v_k$  с характеристическими функциями  $V_k$ , центрами  $x_k$ , образующими пуассоновское множество, полуосами  $a_k^i$  ( $a_k^1 \geq a_k^2 \geq a_k^3$ ), совокупностью эйлеровых углов  $\omega_k$  и тензором свойств  $L(x) = L_0 + L_1(x) = L_0 + L_1^{(k)}(x)$  ( $x \in v_k$ ), где тензоры  $L_1^{(k)}$  — неоднородные функции координат. Конкретный смысл тензора  $L(x)$  может быть различным; в задачах переноса (электропроводности, теплопроводности) это двухвалентные тензоры коэффициентов переноса, в упругой задаче под  $L(x)$  понимается четырехвалентный тензор модулей упругости. Локальное уравнение состояния, связывающее тензоры плотности потока  $\sigma$  и напряженность поля  $\varepsilon$  с потенциалом  $u$ , принимается в виде

$$(1.1) \quad \sigma(x) = L(x)\varepsilon(x), \quad \varepsilon(x) = \nabla u(x)$$

( $\nabla$  — операция градиента и симметризованного градиента для скалярного и векторного потенциалов и соответственно). Используются стандартные обозначения тензорного анализа. Подставляя (1.1) в уравнение равновесия  $\operatorname{div} \sigma(x) = 0$ , получим дифференциальное уравнение относительно потенциала  $u$  и, преобразуя последнее к интегральному, имеем [3]

$$(1.2) \quad \varepsilon(x) = \langle \varepsilon \rangle + \int U(x-y)[V(y)L_1(y)\varepsilon(y) - \langle L_1\varepsilon \rangle] dy, \quad V(y) = \bigcup_{i=1} V_i(y).$$

Здесь  $U = \nabla \nabla G$ ;  $G$  — тензор Грина уравнения Ламе однородной среды с тензором свойств  $L_0$ ;  $\langle \cdot \rangle$  — операция усреднения по ансамблю статистически однородного эргодичного поля  $X$ . Если множество  $X = (V_k,$

$x_k, \omega_k$  конечно ( $k = 1, \dots, n$ ), то при заданной на бесконечности напряженности поля  $\varepsilon_0$  уравнение (1.2) преобразуется:

$$(1.3) \quad \varepsilon(x) = \varepsilon_0 + \int U(x-y) V(y) L_1(y) \varepsilon(y) dy, \quad V(y) = \sum_{i=1}^n V_i(y).$$

Оценка тензора эффективных свойств  $L^*$  в выражении

$$(1.4) \quad \langle \sigma \rangle = L^* \langle \varepsilon \rangle$$

определяется из усреднения локального уравнения состояния (1.1)

$$(1.5) \quad L^* = L_0 + \sum_{i=1}^N \langle\langle R_i^* \rangle\rangle_\omega c_i, \quad \langle L_1(y) \varepsilon(y) V_i(y) \rangle_i = R_i^* \langle \varepsilon \rangle,$$

где  $\langle\langle (\cdot)_i \rangle\rangle_\omega$  — операция усреднения по возможным ориентациям  $\omega_i$  включений  $v_i$ ;  $N$  — число компонентов. Первое уравнение (1.5) можно переписать в форме

$$(1.6) \quad L^* = L_0 + \sum_{i=1}^N \langle\langle R_i^* A_0^{-1} \rangle\rangle_\omega \left[ c_0 I + \sum_{j=1}^N c_j \langle\langle A_j^0 \rangle\rangle_\omega \right]^{-1};$$

$$(1.7) \quad \langle \varepsilon \rangle_i = A_i^0 \langle \varepsilon \rangle_0, \quad \langle \varepsilon \rangle_0 = A_0 \langle \varepsilon \rangle, \quad c_\alpha = \langle V_\alpha \rangle$$

$\langle\langle (\cdot) \rangle\rangle_\alpha$  — среднее по объему компонента  $\alpha$  ( $\alpha = 0, 1, \dots, N$ )).

Для вычисления  $R_i^*$  (1.5) введем  $\varphi(v_m | x_1, \dots, x_n)$  — условные плотности вероятности нахождения  $m$ -го включения в области  $v_m$  при фиксированных включениях  $v_1, \dots, v_n$  с центрами  $x_1, \dots, x_n$ . Относительно функции  $\varphi(v_m | x_1, \dots, x_n)$  известно, что  $\varphi(v_m | x_1, \dots, x_n) = 0$  при  $x_m \equiv v_1^0, \dots, v_m^0 = \cup v_j$  (объединение по  $j = 1, \dots, m$ ), где области  $v_j^0 \supseteq v_j$  ( $j = 1, \dots, n$ ) имеют характеристические функции  $\bar{V}_j^0$  и  $\varphi(v_m | x_1, \dots, x_n) \rightarrow \varphi(v_m)$  при  $|x_i - x_m| \rightarrow \infty$  ( $i = 1, \dots, n$ ). Усредним (1.2) на множестве  $X$  при фиксированных включениях  $v_1, v_1, v_2; \dots$  с помощью различных условных плотностей распределения  $\varphi(v_m | x_1, \dots, x_n)$  ( $n = 1, 2, \dots$ ). Получим бесконечную систему связанных интегральных уравнений ( $j = 1, \dots, n$ ):

$$(1.8) \quad \begin{aligned} \langle \varepsilon(x) | x_1 \rangle &= \int U(x-y) V_1(y) \langle L_1(y) \varepsilon(y) | x_1 \rangle dy = \\ &= \langle \varepsilon \rangle + \int U(x-y) [\langle L_1(y) \varepsilon(y) | y; x_1 \rangle - \langle L_1 \varepsilon \rangle] dy, \\ \langle \varepsilon(x) | x_1, \dots, x_j \rangle &= \sum_{i=1}^j \int U(x-y) V_i(y) \langle L_1(y) \varepsilon(y) | x_1, \dots, x_j \rangle dy = \\ &= \langle \varepsilon \rangle + \int U(x-y) [\langle L_1(y) \varepsilon(y) | y; x_1, \dots, x_j \rangle - \langle L_1 \varepsilon \rangle] dy \end{aligned}$$

$\langle \cdot | y; x_1, \dots, x_j \rangle$  — условное среднее при фиксированных включениях с центрами в  $y, x_1, \dots, x_j$  и  $y \neq x_1, \dots, x_j$ . Обозначим правую часть  $j$ -й ( $j = 1, 2, \dots$ ) строки системы через поле  $\bar{\varepsilon}(x)_{1,\dots,j}$ , имеющее простой физический смысл поля деформаций, в котором находятся фиксированные  $n$  включений. При этом каждое включение  $v_i$  из выбранных фиксированных находится в поле

$$(1.9) \quad \bar{\varepsilon}_i(x) = \widehat{\varepsilon}(x)_{1,\dots,j} + \sum_{k \neq i} \int U(x-y) V_k(y) L_1(y) \varepsilon(y) dy, \quad x \equiv v_i.$$

Поля деформаций внутри включений  $v_i$  зависят только от значения неоднородного, вообще говоря, поля  $\bar{\varepsilon}_i$  в области  $v_i$ . Чтобы не учитывать в дальнейшем зависимость слагаемых (1.8) от  $x \equiv v_i$ , осредним каждую  $j$ -ю строку ( $j = 1, 2, \dots$ ) системы (1.8) по объему  $v_i$   $i$ -го включения ( $i = 1, \dots, j$ ), тогда

$$(1.10) \quad \langle \varepsilon(x) | x_1, \dots, x_j \rangle_i = \sum_{k=1}^j \bar{v}_i^{-1} \int \int U(x-y) V_i(x) V_k(y) \langle L_1(y) \varepsilon(y) | x_1, \dots,$$

$$\dots, x_j \rangle dy dx = \langle \varepsilon \rangle + \bar{v}_i^{-1} \int \int U(x - y) V_i(x) [\langle L_1(y) \varepsilon(y) | y; x_1, \dots, x_j \rangle - \langle L_1 \varepsilon \rangle] dy dx$$

( $\langle \cdot \rangle_i = \bar{v}_i^{-1} \int (\cdot) V_i(x) dx$  — операция осреднения по объему  $i$ -го включения). Может быть предложено несколько допущений относительно правой части (1.10), чтобы замкнуть систему (1.10). Но в любом случае следующим шагом должно явиться решение задачи для конечного числа включений (левая часть (1.10)) в поле деформаций, задаваемом или определяемом из самосогласованных оценок.

**2. Конечное число включений в однородной матрице.** Решим вспомогательную задачу для конечного множества  $X_k(V_k, x_k, \omega_k)$  ( $k = 1, \dots, n$ ) эллипсоидов в однородной матрице с тензором свойств  $L_0$  и заданным на бесконечности полем  $\langle \bar{\varepsilon}(x)_1, \dots, n \rangle$ . Для приближенного решения задачи воспользуемся одной из гипотез МЭП [1—3], согласно которой каждое включение  $v_i$  ( $i = 1, \dots, n$ ) находится в однородном поле  $\bar{\varepsilon}_i$ ; погрешность такого допущения оценивалась в [3] для упругой задачи о плоскости с прямолинейными разрезами. Тогда система (1.10) при фиксированных значениях  $\langle \bar{\varepsilon}(x)_1, \dots, n \rangle_i$  ( $x \equiv v_i$ ) правых частей становится алгебраической:

$$(2.1) \quad \langle \bar{\varepsilon}(x) | x_1, \dots, x_n \rangle_i - \sum_{j=1}^n \bar{v}_i^{-1} \int \int U(x - y) V_j(y) V_i(x) \times \times \langle L_1(y) \varepsilon(y) | y; x_1, \dots, x_n \rangle_j dx dy = \langle \bar{\varepsilon}(x)_1, \dots, n \rangle;$$

$$(2.2) \quad \langle \varepsilon(x) \rangle_i - \langle U(x) \rangle_i \langle L_1(x) \varepsilon(x) \rangle_i = \langle \bar{\varepsilon}(x) | x_1, \dots, x_n \rangle_i.$$

При выводе (2.2) использовалось характеристическое свойство эллипсоида  $\langle U(x) \rangle_i = \text{const}$  при  $x \equiv v_i$  [4]. Ввиду линейности задачи (2.2) существует постоянный тензор  $B_i$  такой, что

$$(2.3) \quad \langle \varepsilon(x) \rangle_i = B_i \langle \bar{\varepsilon}(x) | x_1, \dots, x_n \rangle_i;$$

$$(2.4) \quad \langle L_1(x) \varepsilon(x) \rangle_i = R_i \langle \bar{\varepsilon}(x) | x_1, \dots, x_n \rangle_i$$

( $R_i = \langle U(x) \rangle_i^{-1} (B_i - I)$ ). Например для однородного эллипсоидального включения  $v_i$  при  $L_i^{(i)} = \text{const}$

$$(2.5) \quad B_i = (I + P_i L_1^{(i)})^{-1},$$

( $P_i = - \int U(x - y) V_i(y) dy$  ( $x \equiv v_i$ ) — постоянный тензор, не зависящий от физических свойств и размеров (но не формы) эллипсоида  $v_i$ ). Тензор  $P_i$  можно представить в виде  $P_i = S_i L_0^{-1}$ , где тензор  $S_i$  в задачах упругости (тензор Эшельби) [4] и проводимости [14] построен для сферы, эллиптического цилиндра, сплющенного и вытянутого эллипсоидов. Известен также тензор  $B_i$  (2.3) для двухслойного сфера [15, 16].

Из (1.3), (2.3) получим систему

$$(2.6) \quad \langle \bar{\varepsilon}(x) | x_1, \dots, x_n \rangle_i - \sum_{j \neq i}^n \bar{v}_i^{-1} \int \int U(x - y) V_i(x) V_j(y) R_j \langle \bar{\varepsilon}(y) | y; x_1, \dots, x_n \rangle_j dx dy = \langle \bar{\varepsilon}(x)_1, \dots, n \rangle_i,$$

которая является системой линейных алгебраических уравнений относительно  $\bar{\varepsilon}_i$  и может быть решена стандартными методами линейной алгебры. Для этого перейдем от тензорной формы записи (2.6) к матричной [4]. Сформируем матрицу  $Z^{-1}$  с элементами  $Z_{mk}^{-1}$  ( $m, k = 1, \dots, N$ ) в виде подматриц

$$(2.7) \quad Z_{mk}^{-1} = I \delta_{mk} - (1 - \delta_{mk}) R_m S(x_m - x_k),$$

$$S(x_m - x_k) = \bar{v}_m^{-1} \int \int U(x - y) V_m(x) V_k(y) dx dy.$$

Тогда решение (2.6) запишется в виде

$$(2.8) \quad R_i \langle \bar{\varepsilon}(x) | x_1, \dots, x_n \rangle_i = \sum_{j=1}^n Z_{ij} R_j \langle \bar{\varepsilon}(x)_{1,\dots,n} \rangle_j.$$

Решение (2.8) может быть построено также методом последовательных приближений [1]; так, с учетом первых двух итераций

$$(2.9) \quad Z_{ij} = I\delta_{ij} + (1 - \delta_{ij}) \sum_{j \neq i}^n S(x_i - x_j) R_j.$$

**3. Многочастичный метод эффективной среды.** В одиночастичном методе эффективной среды предполагается, что изолированное включение помещается в однородную матрицу с тензором свойств  $L = L^*(c)$  и заданной на бесконечности напряженностью поля  $\langle \varepsilon \rangle$ . Тогда для  $L^*$  получим неявное уравнение

$$(3.1) \quad L^* = L_0 + \sum_{i=1}^N \ll \bar{R}_i \gg_{\omega} c_i,$$

$$\bar{R}_i = \langle \bar{U}(x) \rangle_i^{-1} (\bar{B}_i - I), \quad \bar{B}_i = (I + \bar{P}_i (L(x) - L^*))^{-1}, \quad x \in v_i,$$

где черта над тензором указывает на его вычисление с учетом того, что свойства матрицы совпадают со свойствами эффективной среды.

В предлагаемом варианте многочастичного ( $n$ -частичного) метода эффективной среды предполагается, что включения помещаются в матрицу с модулем  $L^* = L^*(c)$  и на каждые  $n$  включений действует однородное поле  $\langle \varepsilon \rangle$ . Последнее предположение позволяет замкнуть систему (1.10), которая с учетом решений для одного (2.3) и  $n$  включений представляется в виде ( $j = 1, \dots, n - 1, i = 1, \dots, j$ )

$$(3.2) \quad \langle \bar{\varepsilon}(x)_{1,\dots,j} \rangle_i = \langle \varepsilon \rangle + \int \left\{ \bar{S}(x_i - x_q) \psi(v_q | x_1, \dots, x_j) \sum_{l=1}^{j+1} \bar{Z}_{ql} \bar{R}_l \langle \bar{\varepsilon}(x)_{1,\dots,j+1} \rangle_l - \right. \\ \left. - \bar{S}_i(x_i - x_q) \langle \bar{R}V \rangle \langle \varepsilon \rangle \right\} dx_q,$$

$$\langle \bar{\varepsilon}(x)_{1,\dots,n-1} \rangle_i = \langle \varepsilon \rangle + \int \left\{ \bar{S}(x_i - x_q) \varphi(v_q | x_1, \dots, x_{n-1}) \sum_{l=1}^n \bar{Z}_{ql} \bar{R}_l - \right. \\ \left. - \bar{S}_i(x_i - x_q) \langle \bar{R}V \rangle \right\} dx_q \langle \varepsilon \rangle.$$

Из последнего уравнения определяем эффективное поле  $\langle \bar{\varepsilon}(x)_{1,\dots,n-1} \rangle_i$  с точностью до членов первого порядка малости по  $c$ . Подставляем найденное значение в предыдущее уравнение и т. д. Тем самым получим представление для  $\bar{R}_i^*$  в виде тензорного полинома степени  $n$  по  $c$ .

**4. Схема дифференциального метода.** Рассмотрим обобщение схемы дифференциального метода [12, 13] на случай многокомпонентного наполнителя сложной структуры. Возьмем объем  $v$  композиционной среды с некоторой конечной концентрацией включений  $i = 1, 2, \dots$  (отличной, вообще говоря, от концентрации  $c_i$ ). Композитная среда заменяется однородной объема  $v$  с тензором свойств  $L$ , определяемым из равенства  $\langle \sigma \rangle = L \langle \varepsilon \rangle$ . Бесконечно малый дискретный объем однородной среды удаляем и заменяем суммой компонентов  $i = 1, 2, \dots$ , т. е. представительный объем  $dv_i$  со свойством  $L$  заменяем на тот же объем  $dv_i$  со свойством  $i$ -го компонента. Если  $\bar{R}_i^*$  — среднее значение коэффициента концентрации тензора поляризации

$$\langle \tilde{L}_1(x) \varepsilon(x) \rangle_i = \bar{R}_i^* \langle \varepsilon \rangle \quad (\tilde{L}_1(x) \equiv L(x) - L)$$

элемента  $d\nu_i$ , то приращение тензора эффективных свойств  $L$  можно найти из формулы (1.5) в виде

$$(4.1) \quad dL = \sum_{i=1}^N \ll \tilde{R}_i^* \frac{d\nu_i}{v} \gg_{\omega}.$$

Поскольку удобнее проводить выкладки с приращениями долей объемов  $dc_i$ , то можно показать [12, 13], что

$$\frac{d\nu_i}{v} = \lambda_i \frac{dc}{1-c}, \quad c = \sum_{i=1}^N c_i, \quad \lambda_i = c_i/c$$

и, следовательно,

$$(4.2) \quad dL = \sum_{i=1}^N \ll \tilde{R}_i^* \lambda_i \frac{dc}{1-c} \gg_{\omega}.$$

Уравнение (1.7)— обыкновенное дифференциальное уравнение относительно неизвестного тензора  $L$  с начальным условием  $L(0) = L_0$ ,  $c_i(0) = 0$ ,  $c(0) = 0$  ( $i = 1, \dots, N$ ) и независимой переменной  $c$  ( $\lambda_i = c_i/c = \text{const}$ ). Обоснование формулы (1.7) для однородных включений дано в [8], в том числе для однокомпонентного наполнителя — в [5, 6, 10, 11]. Для замыкания уравнения (1.7) необходимо остановиться на конкретном значении  $\tilde{R}_i^*$ , что может быть определено на основе одночастичного и многочастичного подходов.

**5. Одночастичный дифференциальный метод.** В распространенном одночастичном дифференциальном методе предполагается, что тензор  $\tilde{R}_i^*$  находится из решения задачи для изолированного включения  $i$  в однородной среде с тензором свойств  $L$  и заданным на бесконечности однородным полем  $\langle \varepsilon \rangle$ . При постулировании равенства  $R_i^*$  (1.5) и  $\bar{R}_i$  (3.1) ( $R_i^* = \bar{R}_i$ ) имеет место метод эффективной среды. Тогда использование  $\bar{R}_i$  (3.1) в дифференциальном уравнении для эффективного модуля (4.2)

$$(5.1) \quad \tilde{R}_i^* = \bar{R}_i$$

является своего рода комбинацией одночастичного метода эффективной среды и дифференциальной схемы (4.2) [12, 13].

Другой вариант одночастичного дифференциального метода основан на применении гипотезы средних деформаций Мори — Танака [5, 17], которая является частным случаем гипотез метода эффективного поля [2]. Именно из определения тензоров  $A_i^0$  ( $i = 0, 1, \dots$ ) (1.7) следует, что тензор  $\tilde{R}_i^*$  (4.1) может быть представлен в виде

$$(5.2) \quad \tilde{R}_i^* = \bar{R}_i^* A_0^{-1} \left( c_0 I + \sum_{j=1}^N \ll c_j A_j^0 \gg_{\omega} \right)^{-1}.$$

В гипотезе Мори — Танака [5, 17, 18] предполагается, что

$$(5.3) \quad A_i^0 = B_i,$$

и для получения альтернативного варианта одночастичного дифференциального метода достаточно принять

$$(5.4) \quad \tilde{R}_i^* A_0^{-1} = R_i,$$

тогда уравнения (4.2), (5.2) — (5.4) образуют замкнутую систему для расчета эффективного модуля

$$(5.5) \quad dL = \sum_i \ll \bar{R}_i \gg_{\omega} \left( c_0 I + \sum_{j=1}^N \ll c_j B_j \gg_{\omega}^{-1} \right)^{-1} \lambda_i \frac{dc}{1-c}.$$

Гипотеза (5.3) постулирует независимость тензора концентрации средней напряженности поля  $\langle \varepsilon \rangle_i$  на включениях по отношению к средней на-

пряженности поля в матрице  $\langle \varepsilon \rangle_0$  от концентрации наполнителя в реальном композите. Соотношение (5.4) утверждает дополнительно равенство указанного тензора концентрации аналогичному тензору концентрации на каждом шаге итерационного процесса добавления бесконечно малой концентрации включений к однородной среде с тензором свойств  $L(c)$ . Формула (5.5) является комбинацией одночастичного МЭП [2] и дифференциальной схемой (4.2).

Для композитной среды с однокомпонентным однородным наполнителем имеет место соотношение

$$A_i^0 = \frac{1 - c_1}{c_1} (L - L_0) (L^{(1)} - L)^{-1},$$

подставляя которое в (5.5) при допущении (5.3), (5.4), получим

$$(5.6) \quad dL/dc_1 = (L^{(1)} - L) B_i (L^{(1)} - L_0)^{-1} (L^{(1)} - L) (1 - c_1)^{-2}.$$

#### 6. Многочастичный дифференциальный метод (комбинация с МЭС).

В рассматриваемом варианте метода принимается, что тензор  $\tilde{R}_i^*$  (4.2) определяется из осреднения решения задач для  $n$  включений в однородной среде с тензором свойств  $L$  и заданным на бесконечности полем  $\langle \varepsilon \rangle$ . Поскольку добавление компонента  $i$  ( $i = 1, 2, \dots$ ) на каждом итерационном шаге дифференциальной схемы (4.2) мало ( $\lambda_i dc/(1 - c) \ll 1$ ), то можно считать, что  $\langle \hat{\varepsilon}(x)_i \rangle_i$  (3.2), а значит, и  $\tilde{R}_i^*$  имеют представление в виде ряда по степеням малого параметра  $dc/(1 - c)$ :

$$(6.1) \quad \tilde{R}_i^* = \sum_{k=0}^{n-1} \lambda^{(k)} \tilde{R}_i^{(k)} \left( \frac{dc}{1 - c} \right)^k, \quad \lambda^{(k)} = \prod_{i=1}^{n-1} \lambda_i^{k_i}, \quad \sum_{i=1}^{n-1} k_i = k,$$

причем  $\tilde{R}_i^{(0)} = \bar{R}_i$ . Но для каждой достаточно гладкой функции (в том числе для  $L$  и  $\tilde{R}_i^*$ ) есть разложение в ряд Тейлора по степеням  $dc/(1 - c)$ . Тогда из (4.2) и сравнения коэффициентов при равных степенях  $dc/(1 - c)$  в соответствующих рядах Тейлора и (6.1) получим обыкновенное дифференциальное уравнение  $n$  порядка

$$(6.2) \quad d^n L/dc^n = \sum_{i=1}^N \lambda_i \tilde{R}_i^{(n)} n!/(1 - c)^{n+1}$$

с начальными условиями

$$(6.3) \quad L^{(0)}(0) = L_0, \quad L^{(1)}(0) = \bar{R}_i, \quad \dots, \quad L^{(n-1)}(0) = \sum_{i=1}^N \tilde{R}_i^{(n-1)} (n-1)!$$

**7. Многочастичный дифференциальный метод (комбинация с МЭП).** В предлагаемом (6.2) методе на каждом итерационном шаге дается оценка  $\tilde{R}_i^*$  (4.2) исходя из  $n$ -частичного МЭП [1, 3]. Именно полученные решения для одного (2.3), (2.4) и конечного числа включений (2.7), находящихся в эффективных полях  $\varepsilon(x)$  и  $\hat{\varepsilon}(x)_{1,\dots,n}$ , а также принятие гипотезы Н2 [1, 3] ( $\langle \hat{\varepsilon}(x)_{1,\dots,j,\dots,n+1} \rangle_i = \langle \hat{\varepsilon}(x)_{1,\dots,n} \rangle_i$  ( $j \neq i$ ,  $1 \leq j \leq n$ ,  $x \in v_i$ )), позволяют замкнуть систему (1.10):

$$(7.1) \quad \langle \hat{\varepsilon}(x)_{1,\dots,j} \rangle_i = \langle \varepsilon \rangle + \int \left\{ \bar{S}(x_i - x_q) \varphi(v_q | x_1, \dots, x_j) \sum_{l=1}^{j+1} \bar{Z}_{ql} \bar{R}_l \times \right.$$

$$\left. \times \langle \hat{\varepsilon}(x)_{1,\dots,j+1} \rangle_l - \bar{S}_i(x_i - x_q) \langle \bar{R}V \hat{\varepsilon}_1 \rangle \right\} dx_q,$$

$$\langle \hat{\varepsilon}(x)_{1,\dots,n} \rangle_i = \langle \varepsilon \rangle + \int \left\{ \bar{S}(x_i - x_q) \varphi(v_q | x_1, \dots, x_n) \sum_{l=1}^n \bar{Z}_{ql} \bar{R}_l \langle \hat{\varepsilon}(x)_{1,\dots,n} \rangle_l - \right.$$

$$\left. - \bar{S}_i(x_i - x_q) \langle \bar{R}V \hat{\varepsilon}_1 \rangle \right\} dx_q$$

( $j = 1, \dots, n$ ,  $i = 1, \dots, j$ ). В правой части последнего уравнения (7.1) тензор  $\langle \tilde{\varepsilon}_{1,\dots,n} \rangle$  образован из тензора  $\langle \tilde{\varepsilon}_{1,\dots,n} \rangle$  левой части заменой одного из индексов на  $q$ ; (7.1)— линейная система интегральных уравнений относительно  $\langle \tilde{\varepsilon}(x)_{1,\dots,j} \rangle_l$  ( $j = 1, \dots, n$ ,  $l = 1, \dots, j$ ), при этом в каждой  $j$ -й строке с  $\langle \tilde{\varepsilon}(x)_{1,\dots,j} \rangle_i$  в левой части содержится  $j$  уравнений, так как  $i = 1, \dots, j$ . Значение  $\langle \tilde{\varepsilon}(x)_{1,\dots,n} \rangle_i$  ( $i = 1, \dots, n$ ) оцениваем из последней строки (7.1) методом последовательных приближений при всех возможных положениях включений  $v_1, \dots, v_n$ , затем подставляем его в правую часть  $n - 1$  строки и т. д. Оценка  $\langle \tilde{\varepsilon}(x)_1 \rangle_1$  (7.1) позволяет найти  $\bar{R}_i^*$  (1.5) и  $A_0, A_i^*$  (1.7); в полученных соотношениях в отличие от (6.1) не предполагается бесконечная малость концентрации включений.

Аналитическое явное решение задачи удается найти, если ограничиться двухчастичным приближением и допущением

$$\langle \tilde{\varepsilon}(x)_{12} \rangle_i = \langle \tilde{\varepsilon}(x_i) \rangle = \text{const } (i = 1, 2).$$

Тогда из первого уравнения (7.1) имеем

$$(7.2) \quad \bar{R}_i \langle \tilde{\varepsilon}_i \rangle = \bar{R}_i \langle e \rangle + \bar{R}_i \int \left\{ \bar{S}(x_i - x_q) \sum_{l \neq i, q}^2 \bar{Z}_{ql} \bar{R}_l \langle \tilde{\varepsilon}_l \rangle \varphi(v_q | x_q; x_i) - \bar{S}_i(x_i - x_q) \langle \bar{R} \tilde{\varepsilon} \rangle c_q \right\} dx_q.$$

Система (7.2) является линейной алгебраической и решается для произвольного числа компонентов в предположении, что включения относятся к разным компонентам, если отличаются физическими свойствами, размерами и ориентациями. Можно значительно сократить число неизвестных, если постулировать независимость  $\tilde{\varepsilon}_i$  от  $\omega_i$ . Тогда, осредняя (7.2), при некоторых очевидных допущениях получим

$$(7.3) \quad \langle \bar{R}_i \rangle_\omega \langle \tilde{\varepsilon}_i \rangle = \sum_{j=1}^N (\bar{Y}^{-1})_{ij} \langle \bar{R}_j \rangle_\omega \langle e \rangle,$$

где матрица  $\bar{Y}^{-1}$  имеет обратную с элементами в виде подматриц

$$(7.4) \quad \begin{aligned} \bar{Y}_{ij} = & \delta_{ij} \left\{ I - \langle \bar{R}_i \rangle_\omega \int \langle \bar{S}(x_i - x_j) \rangle_\omega \bar{Z}_{ji} \varphi(v_j | x_q; x_i) \right\} + \\ & + (\delta_{ij} - 1) \langle \bar{R}_i \rangle_\omega \int \{ \langle \bar{S}(x_i - x_j) \rangle_\omega \bar{Z}_{ji} \varphi(v_j | x_q; v_i) - \right. \\ & \left. - \langle \bar{S}_i(x_i - x_j) \rangle_\omega c_j \} V(x_j; x_i) dx_j - \langle \bar{R}_i \rangle_\omega \langle \bar{P}(v'_{ij}) \rangle_\omega c_j. \end{aligned}$$

Из (1.7), (7.3) найдем тензоры  $\bar{A}_0, \bar{A}_i^0$ :

$$(7.5) \quad \begin{aligned} \bar{A}_0 = & c_0^{-1} \left\{ I - \sum_{i=1}^N c_i A_i \langle \bar{R}_i \rangle_\omega^{-1} \sum_{j=1}^N (\bar{Y}^{-1})_{ij} \langle \bar{R}_j \rangle_\omega \right\}, \\ \bar{A}_i^0 = & \bar{B}_i \langle \bar{R}_i \rangle_\omega^{-1} \sum_{j=1}^N (\bar{Y}^{-1})_{ij} \langle \bar{R}_j \rangle_\omega \bar{A}_0^{-1}. \end{aligned}$$

В случае «квазикристаллического» приближения [2]

$$(7.6) \quad Z_{ij} = I \delta_{ij},$$

когда одночастичный метод эффективного поля эквивалентен методу Мори — Танака — Эшелью [2] и для  $A_i^0$  имеет место равенство (5.3), выражение (7.4) упрощается:

$$(7.7) \quad \bar{Y}_{ij} = I \delta_{ij} - \langle \bar{R}_i \rangle_\omega \langle \bar{P}(v'_{ij}) \rangle_\omega c_j - \langle \bar{R}_i \rangle_\omega \int \{ \langle \bar{S}(x_i - x_j) \rangle_\omega \varphi(v_j | x_j; x_i) - \right. \\ \left. - \langle \bar{S}_i(x_i - x_j) \rangle_\omega c_j \} V(x_j; x_i) dx_j.$$

Подставляя (7.3) в (1.5), приходим к выражению эффективного модуля по многочастичному методу эффективного поля

$$(7.8) \quad L^* = L_0 + \sum_{i,j=1}^N c_i (Y^{-1})_{ij} \langle\langle R_j \rangle\rangle_\omega,$$

где тензоры  $Y, R_j$  вычислены с учетом равенства тензора свойств матрицы тензору  $L_0$ .

Вернемся к получению многочастичного дифференциального МЭП в рамках схемы одночастичного метода (5.5). Согласно (7.5), отпадает необходимость постулировать правомерность гипотезы Мори — Танака (5.3), неверной, вообще говоря, при многочастичном учете взаимодействующих включений. Для замыкания (5.2) необходимо принять гипотезу (5.4) (или ей подобную) и затем перейти к уравнению, аналогичному (5.5). Подобный вывод многочастичного дифференциального МЭП нельзя признать строгим, поскольку в используемом в дальнейшем выражении  $\bar{A}_i^0$  (7.5) (и, в частности, в (2.5)) учитывается конечная концентрация включений, хотя дифференциальная схема (4.2) базируется на бесконечно малом добавлении фазы включений на каждом итерационном шаге. Именно вследствие отмеченного противоречия в выражении (5.6) появляется «лишний» множитель  $(L^{(1)} - L_0)^{-1}(L^{(1)} - L)(1 - c)^{-1}$ .

Обойти эту трудность можно, приняв, что система (7.1), описывающая взаимодействие  $n$  включений в композитной среде, имеет место при бесконечно малой концентрации компонентов  $i$  ( $i = 1, \dots, N$ ), равной  $\lambda_i dc/(1 - c)$ . Это позволяет разложить найденное значение  $\langle\langle \varepsilon(x)_1 \rangle\rangle_1$  (7.1), а следовательно, и  $\bar{R}_i^*$  (1.5) в бесконечный ряд по степеням малого параметра  $dc/(1 - c)$ :

$$(7.9) \quad \bar{R}_i^* = \sum_{k=0}^{\infty} \bar{R}_i^{(k)} [dc/(1 - c)]^k.$$

Ряд (7.9) в отличие от (6.1) бесконечный даже для  $n$ -частичного варианта МЭП (7.1). Сравнивая (7.9) с формальным разложением в ряд Тейлора тензора  $\tilde{R}_i^*$  по степеням  $dc/(1 - c)$ , из (4.2) найдем

$$(7.10) \quad d^m L/dc^m = \sum_{i=1}^n R_i^{(m)} m!/(1 - c)^{m+1}$$

с условиями Коши

$$L^{(0)}(0) = L_0, L^{(1)}(0) = R_1, \dots, L^{(m-1)}(0) = R_i^{(m-1)}(m-1)!$$

Порядок уравнения (7.10), вообще говоря, больше числа учитываемых взаимодействующих включений ( $m \geq n$ ); при  $m = n > 2$  оценки по дифференциальным методам МЭС (6.2) и МЭП (7.10) различаются.

**8. Пример.** Рассмотрим линейно-упругую задачу для композитной среды с несжимаемой изотропной матрицей, наполненной жесткими шаровыми включениями одного размера ( $N = 1$ ). Тогда из (2.4), (7.4) имеем [1]

$$(8.1) \quad \bar{R}_1 = \frac{5}{2} \mu, \quad Y_{11} = 1 - 31c/16$$

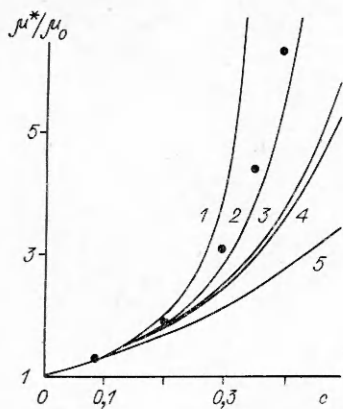
( $\mu$  — сдвиговая компонента изотропного тензора  $L$ ). При выводе второго равенства (8.1) принималось приближение для матрицы  $Z_{ij}$  (2.9) с  $S(x_i - x_j) = U(x_i - x_j)$ ,  $\varphi(v_j|x_j; x_i) = \varphi(v_j) = n_j$  при  $x_j \neq v_i^0$ . Получим следующие зависимости для эффективного модуля сдвига композита  $\mu^*$  от модуля сдвига матрицы  $\mu_0$ :

$$(8.2) \quad \mu^* = \mu_0(1 - 5c/2)^{-1};$$

$$(8.3) \quad \mu^* = \mu_0(1 + 3c/2)(1 - c)^{-1};$$

$$(8.4) \quad \mu^* = \mu_0\{1 - 5c(1 + 31c/16)/2\}^{-1};$$

$$(8.5) \quad \mu^* = \mu_0(1 - c)^{-5/2}.$$



Формула (8.2) найдена по одночастичному МЭС (3.1); (8.3)— одночастичному МЭП (7.7), (7.8); (8.4)— двухчастичному МЭС (3.2); (8.5)— одночастичному дифференциальному методу МЭС (4.2), (5.1). Дифференциальное уравнение

$$(8.6) \quad \frac{d^2\mu}{dc^2} = \frac{155}{16} \mu (1 - c)^{-2},$$

$$\mu(0) = \mu_0, \quad \mu^{(1)}(0) = \frac{5}{2} \mu_0$$

отвечает двухчастичным дифференциальным МЭС (6.2) и МЭП (7.10) с  $m = 2$  (7.10), а уравнение

$$d^3\mu/dc^3 = 15 \left(\frac{24}{16}\right)^2 \mu (1 - c)^{-3}, \quad \mu(0) = \mu_0, \quad \mu^{(1)}(0) = \frac{5}{2} \mu_0, \quad \mu^{(2)}(0) = \frac{155}{16} \mu_0$$

— двухчастичному дифференциальному МЭП (7.10) с  $m = 3$ . На рисунке представлены экспериментальные данные (точки) [19] и кривые 1—5, рассчитанные по уравнениям (8.2), (7.10) с  $m = 30$ , (8.6), (8.5), (8.3) соответственно. Видно, что учет бинарного взаимодействия включений позволяет повысить точность дифференциальных методов.

## ЛИТЕРАТУРА

1. Буряченко В. А. Корреляционная функция полей напряжений в матричных композитах // Изв. АН СССР. МТТ.— 1987.— № 3.
2. Буряченко В. А., Парсон В. З. Одночастичное приближение метода эффективного поля в статике композитов // Механика композит. материалов.— 1990.— № 3.
3. Буряченко В. А., Парсон В. З. Эффективные параметры статистически неоднородных матричных композитов // Изв. АН СССР. МТТ.— 1990.— № 6.
4. Mura T. Micromechanics of defects in solids.— Dordrecht: Martinus Nijhoff Publishers, 1987.
5. Kreher W., Pompe W. Internal stress in heterogeneous solids.— Berlin: Academia-Verlag, 1989.
6. Roscoe R. The viscosity of suspension of rigid spheres // British. J. Appl. Phys.— 1952.— V. 13, N 8.
7. Bruggeman D. A. G. Berechnung verschiedener physikalischer Konstante von heterogenen Substanzen // Annalen der Physik.— 1935.— V. 24, N 4.
8. Avellaneda M. Iterated homogenization, differential effective medium theory and applications // Communs. Pure Appl. Math.— 1987.— V. 40, N 5.
9. Benveniste Y. A differential effective medium theory with a composite sphere embedding // Trans. ASME. J. Appl. Mech.— 1987.— V. 54, N 2.
10. Cleary M. P., Chen I. W., Lee S. M. Self-consistent techniques for heterogeneous solids // Proc. ASCE. J. Engng Mech. Div.— 1980.— V. 106, N 5.
11. Hashin Z. The differential scheme and its application to cracked materials // J. Mech. and Phys. Solids.— 1988.— V. 36, N 6.
12. Norris A. N., Callegari A. J., Sheng P. A generalized differential effective medium theory // J. Mech. and Phys. Solids.— 1985.— V. 33, N 6.
13. Norris A. N. An examination of the Mori — Tanaka effective medium approximation for multiphase composites // Trans. ASME. J. Appl. Mech.— 1989.— V. 56, N 4.
14. Hatta H., Taya M. Effective thermal conductivity of a misoriented short fibre composites // J. Appl. Phys.— 1985.— V. 58, N 7.
15. Hatta H., Taya M. Thermal conductivity of coated filled composite // J. Appl. Phys.— 1986.— V. 59, N 6.
16. Takao Y., Taya M. Thermal expansion coefficients and thermal stresses in aligned short fibre composite with applications to a short fibre aluminum // Trans. ASME. J. Appl. Mech.— 1985.— V. 52, N 4.
17. Mori T., Tanaka K. Average stress in matrix and average elastic energy of materials with misfitting inclusions // Acta Metallurg.— 1973.— V. 21, N 5.
18. Benveniste Y. A new approach to the application of Mori — Tanaka's theory in composite materials // Mech. Mater.— 1987.— V. 6, N 4.
19. Krieger I. W. Rheology of monodisperse lattices // Advances in Colloid and Interface Science.— 1972.— N 3.

г. Москва

Поступила 5/VI 1990 г.,  
в окончательном варианте — 14/III 1991 г.